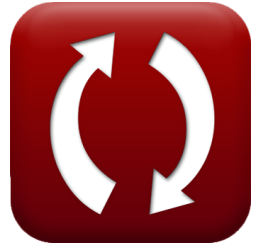




[calculatoratoz.com](http://calculatoratoz.com)



[unitsconverters.com](http://unitsconverters.com)

# Bemessung von Träger und Platte Formeln

Rechner!

Beispiele!

Konvertierungen!

Lesezeichen [calculatoratoz.com](http://calculatoratoz.com), [unitsconverters.com](http://unitsconverters.com)

Größte Abdeckung von Rechnern und wächst - **30.000+ Rechner!**  
Rechnen Sie mit einer anderen Einheit für jede Variable - **Eingebaute Einheitenumrechnung!**

Größte Sammlung von Maßen und Einheiten - **250+ Messungen!**

Fühlen Sie sich frei, dieses Dokument mit Ihren Freunden zu **TEILEN!**

[Bitte hinterlassen Sie hier Ihr Rückkoppelung...](#)



# Liste von 27 Bemessung von Träger und Platte Formeln

## Bemessung von Träger und Platte ↗

## Einschränkung der Biegezugbewehrung ↗

## Anforderungen an die Entwicklungsdauer ↗

### 1) Angewandte Scherung am Abschnitt für die Entwicklungslänge der einfachen Unterstützung ↗

**fx**

$$V_u = \frac{M_n}{L_d - L_a}$$

Rechner öffnen ↗

**ex**

$$33.4 \text{ N/mm}^2 = \frac{10.02 \text{ MPa}}{400 \text{ mm} - 100 \text{ mm}}$$

### 2) Berechnete Biegefestigkeit bei gegebener Entwicklungslänge für einfache Unterstützung ↗

**fx**

$$M_n = (V_u) \cdot (L_d - L_a)$$

Rechner öffnen ↗

**ex**

$$10.02 \text{ MPa} = (33.4 \text{ N/mm}^2) \cdot (400 \text{ mm} - 100 \text{ mm})$$



### 3) Entwicklungslänge für einfache Unterstützung

**fx**  $L_d = \left( \frac{M_n}{V_u} \right) + (La)$

[Rechner öffnen !\[\]\(cbe80b694ebd74fcfe136a095b608235\_img.jpg\)](#)

**ex**  $100.3\text{mm} = \left( \frac{10.02\text{MPa}}{33.4\text{N/mm}^2} \right) + (100\text{mm})$

### 4) Grundentwicklungslänge für Stangen mit 14 mm Durchmesser

**fx**  $L_d = \frac{0.085 \cdot f_y}{\sqrt{f_c}}$

[Rechner öffnen !\[\]\(3e2231b1ad3ca8da8658228c00dd08e0\_img.jpg\)](#)

**ex**  $5.486726\text{mm} = \frac{0.085 \cdot 250\text{MPa}}{\sqrt{15\text{MPa}}}$

### 5) Grundentwicklungslänge für Stangen mit 18 mm Durchmesser

**fx**  $L_d = \frac{0.125 \cdot f_y}{\sqrt{f_c}}$

[Rechner öffnen !\[\]\(0d5ec72f61334709c3fc9450209b754f\_img.jpg\)](#)

**ex**  $8.068715\text{mm} = \frac{0.125 \cdot 250\text{MPa}}{\sqrt{15\text{MPa}}}$



## 6) Grundlegende Entwicklungslänge für Stangen und Draht unter Spannung ↗

**fx**  $L_d = \frac{0.04 \cdot A_b \cdot f_y}{\sqrt{f_c}}$

[Rechner öffnen ↗](#)

**ex**  $400.2083\text{mm} = \frac{0.04 \cdot 155\text{mm}^2 \cdot 250\text{MPa}}{\sqrt{15\text{MPa}}}$

## 7) Stabstahl-Streckgrenze bei gegebener Basisentwicklungslänge ↗

**fx**  $f_y = \frac{L_d \cdot \sqrt{f_c}}{0.04 \cdot A_b}$

[Rechner öffnen ↗](#)

**ex**  $249.8699\text{MPa} = \frac{400\text{mm} \cdot \sqrt{15\text{MPa}}}{0.04 \cdot 155\text{mm}^2}$

## Bemessung von durchgehenden Einwegplatten ↗

### Verwendung von Momentenkoeffizienten ↗

## 8) Negativer Moment an anderen Gesichtern der Innenausstattung ↗

**fx**  $M_t = \frac{W_{load} \cdot I_n^2}{11}$

[Rechner öffnen ↗](#)

**ex**  $32.79276\text{N*m} = \frac{3.6\text{kN} \cdot (10.01\text{m})^2}{11}$



## 9) Negativer Moment an der Außenseite der ersten Innenstütze für zwei Spannweiten ↗

**fx**  $M_t = \frac{W_{load} \cdot I_n^2}{9}$

[Rechner öffnen ↗](#)

**ex**  $40.08004 \text{N*m} = \frac{3.6 \text{kN} \cdot (10.01 \text{m})^2}{9}$

## 10) Negatives Moment an der Außenseite der ersten inneren Stütze für mehr als zwei Spannweiten ↗

**fx**  $M_t = \frac{W_{load} \cdot I_n^2}{10}$

[Rechner öffnen ↗](#)

**ex**  $36.07204 \text{N*m} = \frac{3.6 \text{kN} \cdot (10.01 \text{m})^2}{10}$

## 11) Negatives Moment an Innenflächen der äußeren Stütze, wo Stütze ist ↗

**fx**  $M_t = \frac{W_{load} \cdot I_n^2}{12}$

[Rechner öffnen ↗](#)

**ex**  $30.06003 \text{N*m} = \frac{3.6 \text{kN} \cdot (10.01 \text{m})^2}{12}$



## 12) Negatives Moment an Innenflächen von Außenstützen, bei denen die Stütze Brüstungsträger ist ↗

**fx**  $M_t = \frac{W_{load} \cdot I_n^2}{24}$

[Rechner öffnen ↗](#)

**ex**  $15.03001 \text{ N*m} = \frac{3.6 \text{ kN} \cdot (10.01 \text{ m})^2}{24}$

## 13) Positiver Moment für Endspannen, wenn das diskontinuierliche Ende ein integraler Bestandteil der Unterstützung ist ↗

**fx**  $M_t = \frac{W_{load} \cdot I_n^2}{14}$

[Rechner öffnen ↗](#)

**ex**  $25.76574 \text{ N*m} = \frac{3.6 \text{ kN} \cdot (10.01 \text{ m})^2}{14}$

## 14) Positiver Moment für Endspannen, wenn das diskontinuierliche Ende nicht eingeschränkt wird ↗

**fx**  $M_t = \frac{W_{load} \cdot I_n^2}{11}$

[Rechner öffnen ↗](#)

**ex**  $32.79276 \text{ N*m} = \frac{3.6 \text{ kN} \cdot (10.01 \text{ m})^2}{11}$



## 15) Positiver Moment für Innenspannweiten ↗

**fx**  $M_t = \frac{W_{load} \cdot I_n^2}{16}$

[Rechner öffnen ↗](#)

**ex**  $22.54502 \text{N*m} = \frac{3.6 \text{kN} \cdot (10.01 \text{m})^2}{16}$

## 16) Scherkraft bei allen anderen Stützen ↗

**fx**  $M_t = \frac{W_{load} \cdot I_n^2}{2}$

[Rechner öffnen ↗](#)

**ex**  $180.3602 \text{N*m} = \frac{3.6 \text{kN} \cdot (10.01 \text{m})^2}{2}$

## 17) Scherkraft in Endelementen bei der ersten Innenunterstützung ↗

**fx**  $M_t = 1.15 \cdot \frac{W_{load} \cdot I_n^2}{2}$

[Rechner öffnen ↗](#)

**ex**  $207.4142 \text{N*m} = 1.15 \cdot \frac{3.6 \text{kN} \cdot (10.01 \text{m})^2}{2}$



## Doppelt verstärkte Rechteckprofile ↗

### 18) Biegemoment bei gegebener Gesamtquerschnittsfläche der Zugbewehrung ↗

**fx**  $M_{bR} = A_{cs} \cdot 7 \cdot f_s \cdot \frac{D_B}{8}$

[Rechner öffnen ↗](#)

**ex**  $52.21125 \text{ N*m} = 13 \text{ m}^2 \cdot 7 \cdot 1.7 \text{ Pa} \cdot \frac{2.7 \text{ m}}{8}$

### 19) Gesamtquerschnittsfläche der Zugbewehrung ↗

**fx**  $A_{cs} = 8 \cdot \frac{M_{bR}}{7 \cdot f_s \cdot D_B}$

[Rechner öffnen ↗](#)

**ex**  $13.19639 \text{ m}^2 = 8 \cdot \frac{53 \text{ N*m}}{7 \cdot 1.7 \text{ Pa} \cdot 2.7 \text{ m}}$

### 20) Querschnittsfläche der Druckbewehrung ↗

**fx**  $A_{s'} = \frac{B_M - M'}{m \cdot f_{EC} \cdot d_{eff}}$

[Rechner öffnen ↗](#)

**ex**  $20.61263 \text{ mm}^2 = \frac{49.5 \text{ kN*m} - 16.5 \text{ kN*m}}{8 \cdot 50.03 \text{ MPa} \cdot 4 \text{ m}}$



## Einfach verstärkte rechteckige Abschnitte ↗

### 21) Abstand von extremer Kompression zum Schwerpunkt bei gegebenem Stahlverhältnis ↗

**fx**  $d' = \frac{A}{b \cdot \rho_{\text{steel ratio}}}$

[Rechner öffnen ↗](#)

**ex**  $9956.688 \text{ mm} = \frac{10 \text{ m}^2}{26.5 \text{ mm} \cdot 37.9}$

### 22) Bereich der Zugbewehrung bei gegebenem Stahlverhältnis ↗

**fx**  $A = (\rho_{\text{steel ratio}} \cdot b \cdot d')$

[Rechner öffnen ↗](#)

**ex**  $7.57998 \text{ m}^2 = (37.9 \cdot 26.5 \text{ mm} \cdot 7547.15 \text{ mm})$

### 23) Hebelarm-Tiefenfaktor ↗

**fx**  $j = 1 - \left( \frac{k}{3} \right)$

[Rechner öffnen ↗](#)

**ex**  $0.796667 = 1 - \left( \frac{0.61}{3} \right)$



**24) Modulares Verhältnis** ↗

**fx**  $m = \frac{E_s}{E_c}$

**Rechner öffnen** ↗

**ex**  $43915.65 = \frac{1000\text{ksi}}{0.157\text{MPa}}$

**25) Spannung in Stahl nur mit Zugbewehrung** ↗

**fx**  $f_{TS} = \frac{m \cdot f_{\text{comp stress}} \cdot (1 - k)}{k}$

**Rechner öffnen** ↗

**ex**  $255.7377\text{kgf/m}^2 = \frac{8 \cdot 50\text{kgf/m}^2 \cdot (1 - 0.61)}{0.61}$

**26) Stahlverhältnis** ↗

**fx**  $\rho_{\text{steel ratio}} = \frac{A}{b \cdot d},$

**Rechner öffnen** ↗

**ex**  $50.00013 = \frac{10\text{m}^2}{26.5\text{mm} \cdot 7547.15\text{mm}}$

**27) Strahlbreite bei gegebenem Stahlverhältnis** ↗

**fx**  $b = \frac{A}{d' \cdot \rho_{\text{steel ratio}}}$

**Rechner öffnen** ↗

**ex**  $34.96051\text{mm} = \frac{10\text{m}^2}{7547.15\text{mm} \cdot 37.9}$



# Verwendete Variablen

- **A** Bereich der Spannungsverstärkung (Quadratmeter)
- **A<sub>b</sub>** Bereich der Bar (Quadratmillimeter)
- **A<sub>cs</sub>** Querschnittsfläche (Quadratmeter)
- **A<sub>s</sub>** Bereich der Druckverstärkung (Quadratmillimeter)
- **b** Strahlbreite (Millimeter)
- **B<sub>M</sub>** Biegemoment des betrachteten Abschnitts (Kilonewton Meter)
- **d'** Abstand von der Kompression zur Schwerpunktbewehrung (Millimeter)
- **D<sub>B</sub>** Strahltiefe (Meter)
- **d<sub>eff</sub>** Effektive Strahltiefe (Meter)
- **E<sub>c</sub>** Elastizitätsmodul von Beton (Megapascal)
- **E<sub>s</sub>** Elastizitätsmodul von Stahl (Kilopound pro Quadratinch)
- **f<sub>c</sub>** 28-Tage-Druckfestigkeit von Beton (Megapascal)
- **f<sub>comp stress</sub>** Druckspannung an extremer Betonoberfläche (Kilogramm-Kraft pro Quadratmeter)
- **f<sub>EC</sub>** Extreme Druckbeanspruchung von Beton (Megapascal)
- **f<sub>s</sub>** Verstärkungsstress (Pascal)
- **f<sub>TS</sub>** Zugspannung in Stahl (Kilogramm-Kraft pro Quadratmeter)
- **f<sub>y</sub>** Streckgrenze von Stahl (Megapascal)
- **l<sub>n</sub>** Länge der Spanne (Meter)
- **j** Konstante j
- **k** Verhältnis der Tiefe
- **La** Zusätzliche Einbettungslänge (Millimeter)



- **L<sub>d</sub>** Entwicklungsduer (*Millimeter*)
- **m** Modulares Verhältnis
- **M'** Biegemoment eines einfach verstärkten Trägers (*Kilonewton Meter*)
- **M<sub>n</sub>** Berechnete Biegefestigkeit (*Megapascal*)
- **M<sub>t</sub>** Moment in Strukturen (*Newtonmeter*)
- **M<sub>bR</sub>** Biegemoment (*Newtonmeter*)
- **V<sub>u</sub>** Angewandte Scherung am Abschnitt (*Newton / Quadratmillimeter*)
- **W<sub>load</sub>** Vertikale Belastung (*Kilonewton*)
- **ρ<sub>steel ratio</sub>** Stahlverhältnis



# Konstanten, Funktionen, verwendete Messungen

- **Funktion:** **sqrt**, sqrt(Number)  
*Square root function*
- **Messung: Länge** in Millimeter (mm), Meter (m)  
*Länge Einheitenumrechnung* 
- **Messung: Bereich** in Quadratmillimeter (mm<sup>2</sup>), Quadratmeter (m<sup>2</sup>)  
*Bereich Einheitenumrechnung* 
- **Messung: Druck** in Newton / Quadratmillimeter (N/mm<sup>2</sup>), Megapascal (MPa), Pascal (Pa), Kilopound pro Quadratinch (ksi), Kilogramm-Kraft pro Quadratmeter (kgf/m<sup>2</sup>)  
*Druck Einheitenumrechnung* 
- **Messung: Energie** in Newtonmeter (N\*m)  
*Energie Einheitenumrechnung* 
- **Messung: Macht** in Kilonewton (kN)  
*Macht Einheitenumrechnung* 
- **Messung: Moment der Kraft** in Newtonmeter (N\*m), Kilonewton Meter (kN\*m)  
*Moment der Kraft Einheitenumrechnung* 
- **Messung: Betonen** in Megapascal (MPa)  
*Betonen Einheitenumrechnung* 



## Überprüfen Sie andere Formellisten

- Analyse mit  
Grenzzustandsmethode  
Formeln ↗
- Bemessung von Träger und Platte  
Formeln ↗

Fühlen Sie sich frei, dieses Dokument mit Ihren Freunden zu TEILEN!

### PDF Verfügbar in

[English](#) [Spanish](#) [French](#) [German](#) [Russian](#) [Italian](#) [Portuguese](#) [Polish](#) [Dutch](#)

10/13/2023 | 4:30:58 PM UTC

[Bitte hinterlassen Sie hier Ihr Rückkoppelung...](#)

